

ローラコンパクタに関する2、3の実験

室蘭工業大学 正員 新田 登

1. はしがき

アスファルト混合物の配合設計および力学性状の評価に供される室内供試体は、現場においてローラ転圧された混合物と同一の構造を有すべきであり、この目的のためにセグメントを利用してローラコンパクタが多く使われてきている。しかしローラ転圧機構が複雑なため、現場と室内供試体の関連性については問題があるようである。⁽¹⁾筆者も綿団め研究の一環としてローラ転圧機構を室内で再現すべく比較的大型のローラコンパクタを試作し、転圧過程と説明しつる基礎資料を求めるべく種々の実験を行っている。しかし型枠の拘束が大きい従来の室内綿団め法と異り、十分な綿団め効果を得るために、混合物の性状とコンパクタの操作方法の関係を把握する必要がある。

そこで本報告では、ローラコンパクタの操作上の問題点とアスファルト混合物の綿団め性状より明らかにし、試作したローラコンパクタを室内綿団め法としてより有効に利用するための基礎資料を得るべく若干の実験を試みたものである。

2. 実験要領

2-1 実験装置⁽²⁾-----試作したローラコンパクタの主なる構造については別に発表しているので省略するが、型枠による拘束の影響を少くするためK 550×1000 mmという大型試料を用いること、製作工の理由でローラ部を固定し、混合物を入れた型枠が動くだけの構造になつていること、およびローラドラムに回転力を与える装置を付加したこと等特徴である。更に、綿団め時ににおける混合物の層間移動を観測する目的で斜側面をガラス張りとした小型ローラと試作し、試料の側面に等間隔で打込んだビンの動きによって混合物の変形の状況を把握しようと試めた。図-1は小型ローラの構造を示したものである。

2-2 実験試料 実験に使用したアスファルト混合物はサンドアスファルトに属する粒度配合とし、バインダー含有量は9.0%である。バインダーとしては、室温で綿団め時の粘度と再現すべくストレートアスファルトとB重油を混合したものと用い、綿団め時のバインダー粘度は 7×10^3 m²/s⁻¹とした。

2-3 実験条件 試料の性状は初期空隙率を除いて常に一定とし、予備実験の結果より型枠の走行速度と6.87 cm/secと固定すると共に、型枠底部に試料のすべりを防止するための板を用いて次のとおり条件で実験を行った。

- (1) 試料の敷はらし厚(d₀)：65 mm、初期空隙率(v₀)：15%、載荷重(W)：4.3 kg/cm、ローラドラムの速度(V)：6.81, 6.87 (自由回転), 7.41, 9.60 cm/sec.
- (2) d₀=65 mm, v₀=15%, V=7.41 cm/sec. W=4.3, 7.5, 10.7 kg/cm.
- (3) 小型模型ローラによる綿団め時の混合物の移動状態の観測。

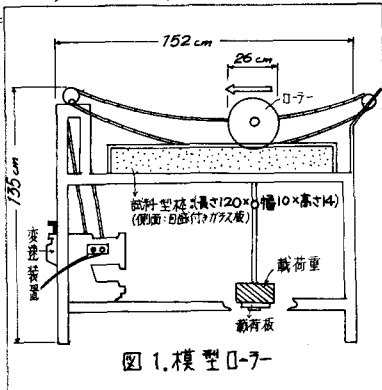


図1. 模型ローラ

3. 実験結果

3-1 締固め曲線 条件(1)で締固めた場合の締固め回数による空隙率(V_f)および厚さ(d_f)の変化の過程を V_f とパラメーターとして図-2に示す。 $V_f = 9.60$ の場合を除いて、 V_f - d_f 共同じような変化傾向を示すが、 d_f の変化が大きい場合にはクラックが発生する。また、 $V_f = 9.60$ の場合には締固め初期にルーズになる現象が生じ、混合物の表面が波状になつた。このようなことから、この種の締固めの場合には V_f の変化と共に d_f の変化とも考慮して締固め状態を評価すべきであると思われる。

3-2 ローラドラム速度の影響 厚さ減少率 d_f/V_f に対する往復回の厚さの変化率と d_f/V_f 空隙減少率 d_f/V_f に対する往復回の空隙の変化率と V_f として、その比 d_f/V_f と締固め回数との関係を描くと図-3のようになる。10パスでクラックの発生した $V_f = 6.87$ の場合には d_f/V_f が25~34%以下の締固め回数で急激に増加しているのに對して、 $V_f = 7.41$ の場合には d_f/V_f が6パスまでゆるやかに減少し、その後締固め回数が多くなると共に徐々に増大するが、その範囲は19~26%である。従ってこの場合6パスまでは空隙の減少が大きいが、締固め回数が増えると次第に厚さの減少の方が大きくなり混合物が締固まるよりローラ進行方向への移動が大きくなることを意味している。 $V_f = 6.87$ の場合には混合物の移動が大き過ぎてクラックが発生したと考えるべきであろう。

3-3 締固め荷重の影響 条件(2)の場合の d_f/V_f と締固め回数との関係は図-4のようになる。 $W = 10.7$ の場合には d_f/V_f の変化が著しく12パスでクラックが発生しているが、 $W = 4.3, 7.5$ の場合は10パスまでの傾向は若干異なるが、その後ほぼ同じような変化をしている。従って $W = 10.7$ の場合には混合物の有する締固め抵抗に比して荷重が過大であり、その他の2つの場合は締固め抵抗の小さい締固め初期には締固め過程に変化がみられるが、その後は同じような挙動で締固めが行はれたと考えようである。

3-4 締固め時の混合物の動き ローラドラムに回転力を与えた場合と与えない場合の締固め挙動の相違と混合物各層の動きから評価するに於て、小型模型ローラで行った実験結果を図-5、6に示す。この図によるとローラドラムに回転力を与えない場合にはローラ進行方向への混合物の移動が大きく、特に表面部分においてこの傾向が著しい。これは締固め時に生ずる Major De-compaction の部分でローラドラムによってそのまま進行方向へ押し出されるためと思われ、これがクラック発生の原因にはると考えられる。

4 むすび

試作したローラコンパクターに対する操作上の問題点に関する若干の考察を加えて、型枠の拘束が少ないことに於ける荷重速度の影響がやはり締固め状態と直角すらある、混合物の性状に基づく最適締固め法の決定が重要である。また、 d_f/V_f の値によってかなり締固め性状を表現できようである。今後、混合物の締固め時に於ける力学性状とあわせてローラ転压機構の解明に進むべきである。

参考文献：(1) 新田“アスファルト舗装の転圧性状について”石油学会誌 Vol. 16, No. 6, 1973

(2) 新田“ローラコンパクターの試作について”第10回日本道路会議論文集, 1971

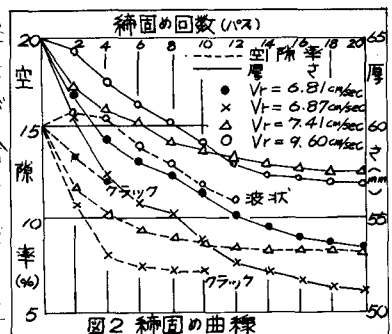


図2. 締固めの曲線

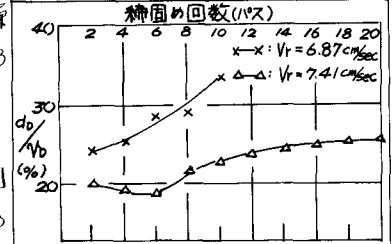


図3. ローラドラム速度の影響

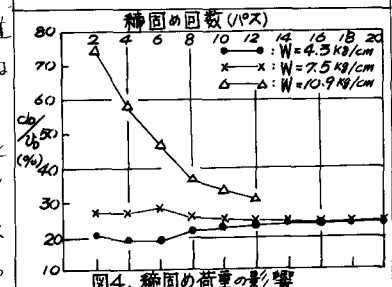


図4. 締固め荷重の影響

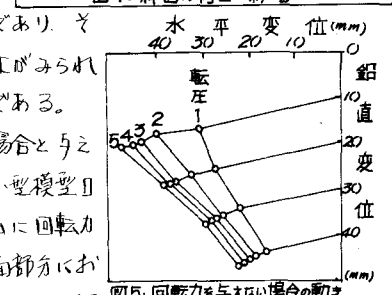


図5. 回転力を与えない場合の動き

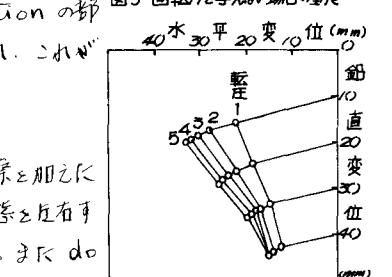


図6. 回転力を与えた場合の動き